



簡明熱處理工作手冊

孫小冰編譯

內容 提 要

本书共分七章，第一章对金属热处理基本原理——铁碳合金状态图和C-曲线图作了简明的介绍；第二章详细地叙述各种钢的编号方法，列出国产钢的化学成分、机械性能、热处理规范和用途；第三、第四和第五章分别介绍了热处理和化学热处理方法、各种主要零件的热处理工艺以及热处理车间主要设备及辅助设备的规格、性能和用途；第六章叙述有色金属的热处理；最后一章扼要地介绍热处理工作的安全知识。

在第二版中，作者全面修订并补充了很多新资料，可供从事热处理工作的工人、中等技术人员以及有关专业的大专学生参考。

簡明热处理工作手册

(第二版)

孙小冰 编译

*

上海科学技术出版社出版

(上海瑞金二路450号)

上海市书刊出版业营业登记证033号

新华书店上海发行所发行 各地新华书店经售

大东集成联合印刷厂印刷

*

开本850×1168 1/32 印张12 14/32 捕页2 字数317,000

(原大东、科技版共印12,520册 1955年3月第1版)

1958年10月新1版印3次共印26,500册

1962年8月第2版 1962年8月第1次印刷

印数 1—8,000

统一书号：15119 · 202

定 价：(十二) 1.75 元

第二版序

本版修訂範圍主要包括：

- (1) 重写了第一章中“鐵碳合金状态图”一节，补充了有关 C-曲綫图、鋼的晶粒度和鋼的淬透性等資料；
- (2) 根据冶金工业部 1959 年 11 月 22 日頒布的“鋼鐵产品牌号表示方法”，把原书中的苏联鋼号全部改为国产鋼号。这样对使用本书的同志可能更为便利。对各种鋼的用途也作了新的补充；
- (3) 根据苏联的最近資料，增添了有关量具和切削刀具热处理的工艺資料；
- (4) 补充了“大型鍛件的热处理”一节，以及有关处理农业机器零件的一些工艺資料；
- (5) 在“热处理車間設備”一章中，补充了苏联“电炉”工厂的一些新产品。改写了“測量温度的仪器”一节。最后，还增添了“热处理車間輔助材料的消耗定額”一节，这些資料对热处理工作者是很有用的；

(6) 增加了“有色金属的热处理”和“热处理安全知識”二部分。

因限于时间及水平，这次的修訂虽作了一些工作，但謬誤之处，在所难免，希望使用本书的同志多多指正和批評。

1961年10月

目 录

第二版序

第一章 鋼的結構組織与性能.....	1
一、鐵碳合金状态图	1
(一)图中的相 (二)图中的点 (三)图中的綫 (四)图中的区域	
二、奧氏体等溫轉变图(C-曲綫图)	6
(一)奧氏体在 C-曲綫上部区域的轉变 (二)奧氏体在 C-曲綫中部区 域的轉变 (三)奧氏体在 C-曲綫下部区域的轉变	
三、結構組織及其性能	12
(一)純鐵体 (二)奧氏体 (三)滲碳体 (四)珠光体 (五)索氏体 (六)托氏体 (七)針狀托氏体 (八)馬氏体	
四、鋼的晶粒度及其測定方法	20
五、鋼的淬透性	23
第二章 鋼和鑄鐵的化学成分、机械性能、热处理規范和用途.....	27
一、鋼的分类方法	27
(一)按冶炼方法分类的鋼 (二)按化学成分分类的鋼 (三)按结构組 織分类的鋼 (四)按质量分类的鋼 (五)按成形方法分类的鋼 (六) 按用途分类的鋼	
二、鋼的編号方法	28
(一)我国鋼的編号方法 (二)苏联鋼的編号方法 (三) S. A. E. 鋼 的編号方法	
三、国产鋼的化学成分、机械性能、热处理規范和用途	31
(一)碳鋼 (二)合金鋼 (三)高速鋼 (四)特殊用途鋼	
四、S. A. E. 結構用鋼的化学成分和热处理規范.....	69

[2] 目 录

五、鑄鐵的化學成分、機械性能、熱處理規範和用途	79
(一) 灰口鑄鐵 (二) 可鍛鑄鐵	
第三章 热處理的基本原理	91
一、热處理時鋼的加熱、透燒(保溫)和冷卻	91
(一) 加熱 (二) 透燒(保溫) (三) 冷卻	
二、热處理時鋼件加熱和透燒的時間	92
(一) 蘇聯的資料 (二) A. S. S. T. 的資料 (三) A. S. M. 的資料 (四) Trunk 的資料 (五) 快速加熱的資料	
三、热處理的方法	97
(一) 退火 (二) 淬火 (三) 回火 (四) 冷處理 (五) 时效處理 (六) 鋼熱處理時產生的缺陷及其補救的方法	
四、常用的各种淬火剂(冷却剂)和淬火、回火时用的加热剂	117
(一) 冷却剂 (二) 加热剂	
五、化学热处理方法	122
(一) 渗碳法 (二) 氰化法 (三) 氮化法 (四) 鋼化學熱處理時產生的 缺陷及其補救的方法	
六、硬度試驗	148
(一) 布氏硬度 (二) 洛氏硬度 (三) 維氏硬度 (四) 肖氏硬度	
七、热處理用的保護氣體(控制氣體)	152
第四章 零件的热處理工藝	161
一、汽車主要零件的热處理	161
(一) 曲軸的热處理 (二) 齒輪的热處理 (三) 氣門的热處理 (四) 活 塞環的热處理 (五) 鋼板彈簧銷的热處理 (六) 汽車后半軸的热處理 (七) 汽車前軸的热處理 (八) 制動器凸輪的热處理	
二、彈簧的热處理	170
三、軸承零件的热處理	173
(一) 軸承圈(內圈和外圈)的热處理 (二) 滾珠和滾柱的热處理 (三) 滲碳鋼制軸承圈的热處理	
四、各種長軸和短軸的热處理	177
五、模子的热處理	180

目 录 [3]

六、量具(驗規)的热处理	183
七、切削刀具的热处理	206
(一)碳工具鋼制的切削刀具的热处理特点	(二)合金工具鋼制的切削
刀具的热处理特点	(三)高速鋼制的切削刀具的热处理特点
推荐制造各种工具用的鋼及其回火温度和硬度	(四)推
八、大型鍛件的热处理	297
九、修理时推荐制造机床和压床零件的代用鋼及其回火温度和硬	度
十、推荐制造农业机器零件用的鋼及其回火温度和硬度	307
 第五章 热处理車間設備	313
一、热处理加热炉	313
(一)箱式炉	(二)井式炉
(三)盐槽(盐浴炉)	(四)連續作业炉
二、测量温度的仪器	341
(一)工业用玻璃管式液体温度計	(二)热电偶和毫伏計
(三)光学高	温計和辐射高温計
三、冷却装置	344
(一)普通的淬火槽	(二)輸送带式淬火槽
(三)提升式淬火池	(四)淬火机
四、清洁裝置	349
(一)清洗槽	(二)噴砂机
五、校直設备	353
六、檢驗設备	355
(一)布氏硬度机(TIII型)	(二)洛氏硬度机(TR型)
七、热处理車間輔助材料的消耗定額(根据热处理零件的重量計	算)
(一)保护气体	(二)淬火用冷却剂
(三)加热剂	(四)渗碳剂
(五)氮化剂	(六)氮化时氨气的消耗量
(七)热处理用的其他設备	(八)清洁零件时用的材料
 第六章 有色金属的热处理	361
一、銅和銅合金	361

[4] 目 录

(一)純銅 (二)銅合金	
二、鎳和鎳合金	365
(一)鎳 (二)鎳合金	
三、鎂合金	366
四、鋁和鋁合金	370
(一)鋁 (二)鋁合金	
五、鈦和鈦合金	375
 第七章 热处理安全知識	376
一、对热处理車間安全生产的一般要求	376
二、加热炉工作的安全知識	377
(一)重油炉的安全工作規則 (二)燃气炉的安全工作規則 (三)电炉 的安全工作規則 (四)盐浴炉的安全工作規則	
三、氧化工段的安全知識	379
(一)氧化工段安全操作規則 (二)氧化工段淬火和清洗用水的消毒規 則	
四、油冷、清洁和檢驗作业的安全知識.....	380
(一)油冷作业的安全知識 (二)清洁和檢驗作业的安全知識	
五、热处理車間个人和公共安全知識	382
 附 录	385
I. 苏联书籍中常見的符号及其度量单位	385
II. 重要金属和非金属元素的物理化学常数和机械性能	387
III. 摄氏($^{\circ}\text{C}$)和华氏($^{\circ}\text{F}$)温度对照表.....	388
IV. 合金元素对鋼的性能的影响	390
 參考資料	391

第一章 鋼的結構組織与性能

鋼的內部組織決定了鋼的機械性能，而化學成分和熱處理的方法又決定了鋼的結構組織。

金屬學是研究金屬和合金的各種性能及其內部構造（結構組織）關係的科學。金屬和合金的內部構造和它們的機械性能之間存在着一定的關係，測定這個關係，尋求熱處理和機械加工的方法，使金屬和合金具有各種不同的構造，這便是研究金屬學的目的。

熱處理是改變鋼的結構組織，以達到改變其性能的一種方法；因此熱處理是使鋼件獲得新的性能的一門工藝。它擴大了金屬和合金的使用範圍，保證工件具有符合於使用要求的性能。

掌握正確的熱處理方法，乃是保證工件質量的主要關鍵。在研究鋼的熱處理以前，必須先了解鋼在熱處理過程中結構組織的變化，也就是說，鋼在加熱和冷卻過程中的變化。要掌握鋼在加熱和冷卻過程中的變化規律，必需學習下面兩個基本圖——鐵碳合金狀態圖和 C-曲線圖（即奧氏體等溫轉變圖）。

一、鐵碳合金狀態圖

在鐵碳合金狀態圖（圖 1-1）上橫軸表示合金中碳的含量（%C），直軸表示溫度（°C）。圖的最左邊是純鐵（含碳為零）；右邊是指含碳量相當於 6.67% 的碳化鐵（ Fe_3C ）。含碳高於 6.67% 的鐵碳合金，由於脆性很大，根本沒有使用的價值。所以，這裡所謂的鐵碳合金狀態圖，實際上是 $Fe-Fe_3C$ 狀態圖。

在鐵碳合金狀態圖上，根據碳的含量，可以分為兩大類：含碳量在 2.0% 以下的鐵碳合金叫做鋼；含碳 2.0~6.67% 的叫做鑄鐵。

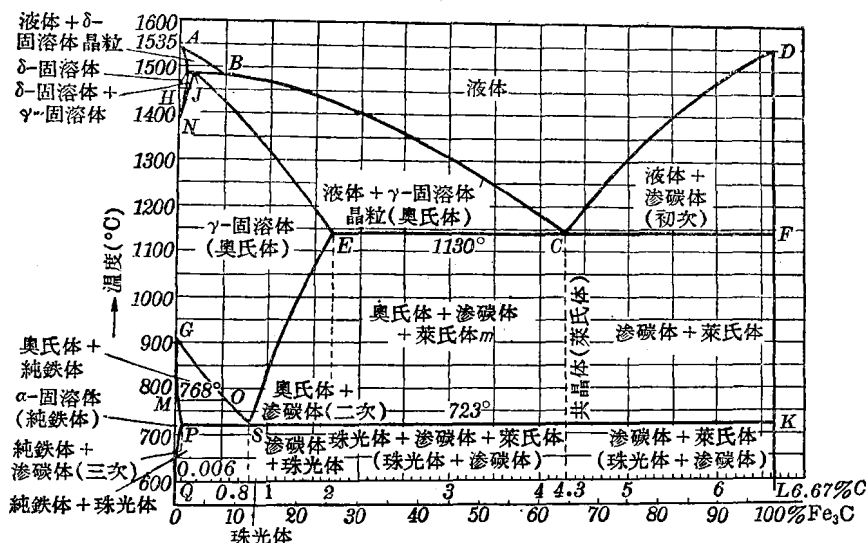


图 1-1 鉄碳合金状态图

在鐵碳合金状态图上是用温度($^{\circ}\text{C}$)和合金的成分(%)作坐标
的,而不考虑时间;所以是假定在很稳定的状态下加热和冷却时发
生的轉变,与在热处理过程中实际加热和冷却时的轉变是有些距
离的。但这并不是說可以不学它了,学习鐵碳合金状态图对于热
处理工作者來說,至少有下面两点实用上的意义:

(1) 任何成分的合金,随时都有趋于稳定組織的倾向,倘使我
們給以一定的时间和一定的条件,那么它就会最后变成較稳定的
組織;同时我們如果不知道什么是合金的稳定組織,也就不能更好
地了解在时间变化中要发生哪些变化;

(2) 根据鐵碳合金状态图,可以确定合金能承受何种热处理
的工序,以及可在哪一个温度范围内进行工作。

在研究鐵碳合金状态图之前,先来研究一下鋼在稳定状态下
的各种結構組織。

从状态图上可以看到,含碳量在 0.80% 以下的鋼(又叫做亚

一、鐵碳合金状态图 [3]

共析鋼), 在加热以前是由純鐵体 + 珠光体結構組成; 而含碳量在 0.80~2.0% 的鋼(又叫做過共析鋼), 在加热以前是由滲碳体 + 珠光体結構組成; 含碳量為 0.80% 的鋼(又叫做共析鋼), 在加热以前是由單一的珠光体組成。

加热到 A_{c1} 临界点(图上的 PSK 線)以上, 鋼中的珠光体开始轉变为奧氏体(一种固溶体); 当温度升高到 A_{c2} (图上的 GSE 線)时, 过剩相(亞共析鋼中的純鐵体和過共析鋼中的滲碳体)开始溶入奧氏体中, 而得到均匀的相(奧氏体)。

在热处理的时候, 我們可以根据鐵碳合金状态图来决定各种含碳量不同的鋼的淬火、正火和退火的温度。

鐵碳合金状态图的图形构造, 在很久以前就已具有十分固定的形状, 但是愈来愈新的科学的研究工作, 才将各个主要点的位置和線的行程加以确定。所以在不同年分的技术文献中, 可以遇到不同的临界点和濃度数值, 个别線的位置和行程等也有偏差。这又怎样解釋呢? 主要是因为使用的原材料純度和仪器的精确度不断地改进, 因此所得的图形构造也随之改变。

(一) 图中的相

在 $\text{Fe}-\text{Fe}_3\text{C}$ 系內共有以下四个相存在:

液相 L (碳在鐵中的液溶体)——在液相線 $ABCD$ 以上存在。

滲碳体 Fe_3C ——即垂線 $DFKL$ 。

純鐵体——为碳在 α -鐵中的固溶体。純鐵体在 $\text{Fe}-\text{Fe}_3\text{C}$ 系中的位置是在 GPQ 及 AHN 線之左方。

奧氏体——为碳在 γ -鐵中的固溶体。奧氏体区域在状态图上为 $NJESG$ 。

(二) 图中的点

图中各点的含碳量和温度值, 以及它們所代表的意义列于表 1-1。

(三) 图中的線

$ABCD$ 为液相線, 而 $AHJECF$ 則为固相線。

表 1-1

點的符號	溫度(°C)	碳的濃度(%)	代 表 的 意 义
A	1535	0	純鐵的熔化點
B	1485	0.5	由於包晶作用形成的碳在 γ -鐵中的極限溶液
H	1485	0.1	碳在 δ -鐵中的最大溶解度
J	1485	0.16	包晶點
N	1400	0	純鐵 $\gamma \rightleftharpoons \delta$ 的同素異形轉變
E	1130	2.0	γ -鐵(奧氏體)中碳的最大溶解度
C	1130	4.3	共晶點
F	1130	6.67	滲碳體垂線上的點
G	910	0	純鐵 $\alpha \rightleftharpoons \gamma$ 的同素異形轉變
D	1600	6.67	估計的純滲碳體的熔化溫度
P	723	0.02	純鐵體中碳的最大溶解度(在 723°C 時)
S	723	0.8	共析點
K	723	6.67	滲碳體垂線上的點
Q	600	0.006	純鐵體中碳的最大溶解度(在 600°C 時)
L	600	6.67	滲碳體垂線上的點

HJB 水平線——發生包晶反應，結果形成了奧氏體。此反應僅可以在含碳 0.1~0.5% 的鐵碳合金中發生，相當於 1485°C。

ECF 水平線——發生共晶反應，結果生成共晶混合物。奧氏體與滲碳體的共晶混合物稱為萊氏體。此反應發生在所有含碳超過 2% 的合金中，相當於 1130°C。

PSK 水平線——發生共析反應，結果生成共析混合物，純鐵體與滲碳體的共析混合物稱為珠光體。在所有含碳超過 0.02% (P 點) 的合金中均發生珠光體轉變，相當於 723°C (A_1)。

ES 線——碳在奧氏體中的固溶線(極限溶解度線)。從該線看出，奧氏體的最大溶解度是在 1130°C，此時可溶解 2.0% C，而在 723°C 時只能溶解 0.8% C。故凡含碳量大於 0.8% 的鐵碳合金自 1130°C 冷至 723°C 時，均會自 γ -鐵(奧氏體)中析出二次滲碳體(A_3)。

PQ 線——碳在純鐵體中的固溶線(極限溶解度線)。純鐵體在 723°C 時的最大溶解度為 0.02% C，而在室溫時僅為 0.006%；故一般鐵碳合金凡自 723°C 冷至室溫時，均可能自 α -鐵中析出三次滲碳體，但因其數量極少，一般

常予以忽略。

除上述的主要綫外，其他各綫所代表的意义如下：

AB—— δ -固溶体(δ -鐵)的液相綫；

BC——奧氏体的液相綫；

CD——滲碳体的液相綫；

AH——沿 *AB* 線結晶的 δ -Fe 的固相綫；

JE——沿 *BC* 線結晶的 γ -Fe 的固相綫；

DL——滲碳体 Fe_3C 線；

HN—— δ -鐵中碳的极限溶解度綫，同时也是冷却时 $\delta \rightarrow \gamma$ 的开始綫，或加热时 $\gamma \rightarrow \delta$ 的終了綫；

JN——冷却时 $\delta \rightarrow \gamma$ 的終了綫，或加热时 $\gamma \rightarrow \delta$ 的开始綫；

GS——冷却时 $\gamma \rightarrow \alpha$ 的开始綫(自奧氏体中析出純鐵体)，同时也是加热时 $\alpha \rightarrow \gamma$ 的終了綫；

PG——冷却时 $\gamma \rightarrow \alpha$ 的終了綫，或加热时 $\alpha \rightarrow \gamma$ 的开始綫。

(四) 图中的区域

ABCD 線以上的区域——均匀的液态鐵碳合金。

ABH 区域——液态合金 + δ -固溶体。

BCEJ 区域——液态合金 + 奧氏体。

DCF 区域——液态合金 + 滲碳体。

AHN 区域—— δ -固溶体。

HJN 区域—— δ -固溶体 + 奧氏体。

NJESG 区域——奧氏体。

EFKS 区域——奧氏体 + 滲碳体。

GSP 区域——奧氏体 + 純鐵体。

QPG 区域——純鐵体。

PKLQ 区域——純鐵体 + 滲碳体。

临界点的位置随加热和冷却而不同，为了区别起见，我们在加热时的临界点符号下面加一个小写英文字母“c”(A_{c1} , A_{c2})，在冷却时的临界点符号下面加一个字母“r”(A_{r1} , A_{r2})。因此，

A_{c1} 或 A_{r1} ——珠光体 \rightleftharpoons 奧氏体。

A_{c2} 或 A_{r2} —— $\alpha \rightleftharpoons \beta$ 磁性轉变点。

[6] 第一章 鋼的結構組織与性能

A_{c_3} 或 A_{r_3} —— $\alpha \rightleftharpoons \gamma$ 的轉变。

A_{c_4} 或 A_{r_4} —— $\gamma \rightleftharpoons \delta$ 的轉变。

二、奧氏体等温轉变图 (C-曲綫图)

奧氏体过冷至 A_1 点以下不同温度等温轉变結果而得到的曲綫图，叫做奧氏体等温轉变图(图 1-2)，因为图上的曲綫形状象英文字母“C”，所以又叫它做 C-曲綫图。

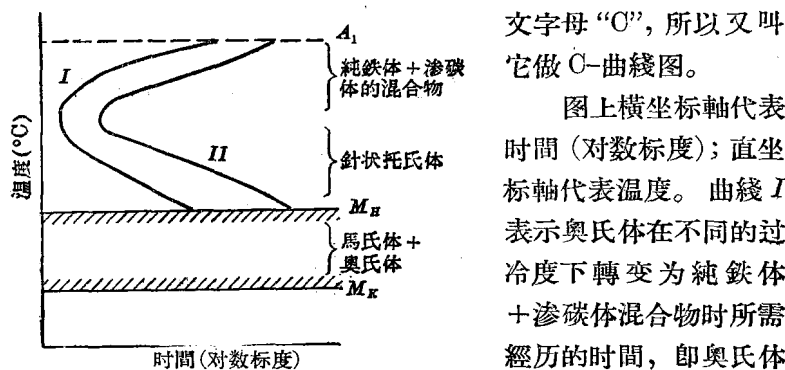


图 1-2 奧氏体等温轉变图 (共析碳鋼)。由直軸至轉变开始曲綫(曲綫 I)的綫長，即可作为衡量奧氏体不稳定度的标准。此綫段在 $500\sim 600^{\circ}\text{C}$ 时最短(此处又可称为“鼻”部，因其突出形状如人鼻)，亦即奧氏体在此时最不稳定。曲綫 II 是奧氏体轉变終了綫，即表示奧氏体全部轉变为純鐵体+渗碳体混合物时所需的时间。在 $500\sim 600^{\circ}\text{C}$ 时这种时间也是最短的。

水平綫 M_n (或 M) 表示非扩散性的馬氏体轉变开始温度。这种轉变机构与形成純鐵体+渗碳体混合物的机构不同。

各种鋼的 C-曲綫形状和位置各不相同，主要决定于鋼的成分，此外尚受其他一些因素(如晶粒度、奧氏体的均匀度等)的影响。

亚共析鋼和过共析鋼的奧氏体等温轉变图，与共析鋼的不同点是奧氏体在轉变成为純鐵体+渗碳体的混合物以前，在亚共析

二、奧氏体等温轉变图(C-曲綫图) [7]

鋼中首先有过剩相純鐵体形成。而在过共析鋼中則先有二次滲碳体析出。

根据等温轉变产物的特性,可以将 C-曲綫分为下面三个区域來說明:

(一) 奧氏体在 C-曲綫上部区域的轉变

共析鋼在 550°C 以上高温区域内轉变时(图 1-2), 奧氏体的分解在曲綫 I 开始, 直到曲綫 II 才終止, 形成的組織是純鐵体+滲碳体的混合物。在高温时, 即在极小的过冷度下所得到者为极粗的純鐵体+滲碳体的混合物, 这个混合物称为珠光体。在較低的温度下, 即当过冷度較大时, 組織的弥散度即增加, 这种較細的珠光体組織称为索氏体。如果温度更低(相当于 C-曲綫的鼻部), 产物的弥散度便更进一步增加, 此时形成的組織称为托氏体。

(二) 奧氏体在 C-曲綫中部区域的轉变

C-曲綫的中部区域是包括从 550°C 到 M_n 点之間的范围。在这区域中, 奧氏体等温轉变所得的組織称为針状托氏体, 有些书上又叫它做貝氏体。

針状托氏体虽然也是純鐵体+滲碳体的机械混合物, 但由于其形成的机构不同, 故其形态与珠光体类产物(珠光体、索氏体、托氏体)有很大差別。

(三) 奧氏体在 C-曲綫下部区域的轉变

奧氏体在低于 M_n 点以下的温度分解, 就轉变成为馬氏体及殘余奧氏体組織。等温轉变的温度愈低, 那么得到的組織中含馬氏体的数量也就愈多, 鋼的硬度也愈高。直到 M_s (馬氏体轉变終了温度)点的温度, 馬氏体的轉变便基本上全部完成(注意, 此时也可能有少量殘余奧氏体存在)。

在淬火时, 我們要求得到堅硬的馬氏体組織, 所以必須以很快的速度过冷到 M_n 点以下, 使奧氏体全部轉变为馬氏体。

鋼的含碳量在 $0.2\sim0.8\%$ 时, 它的馬氏体轉变开始点(M_n)的温度, 可以用下面的公式近似地計算:

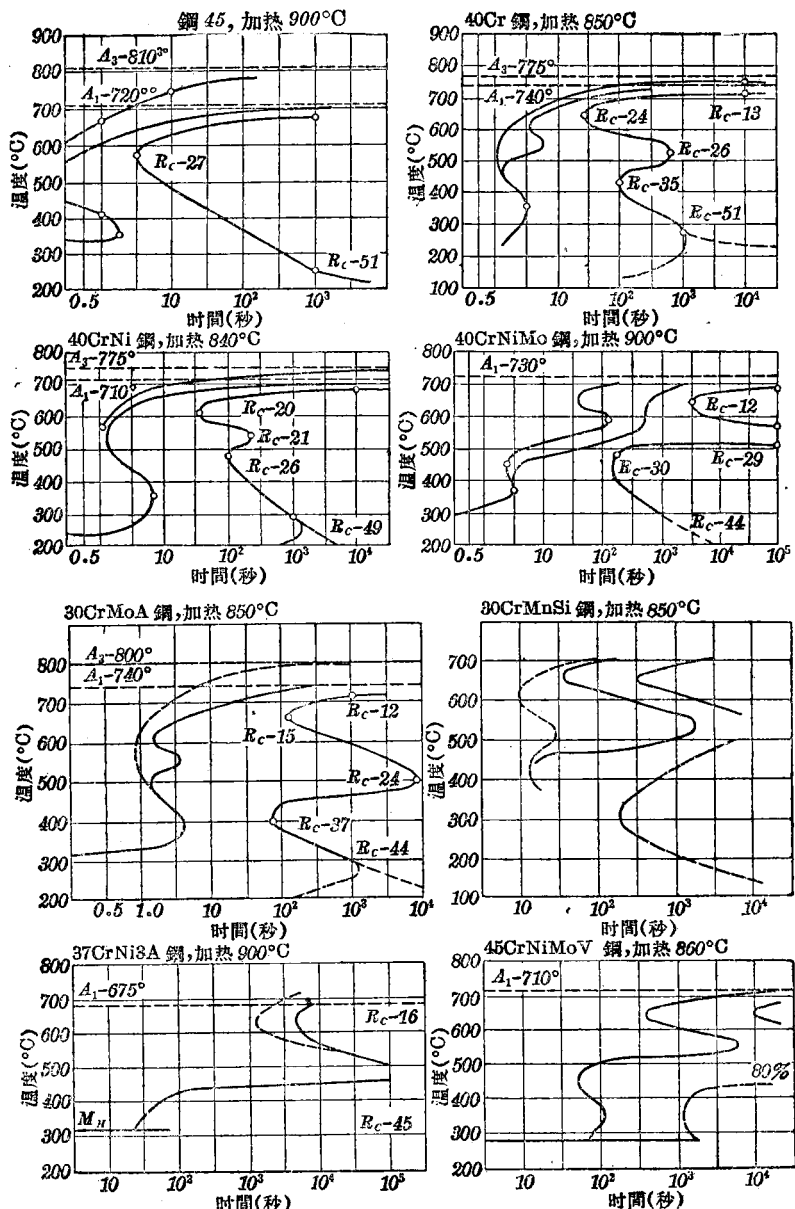


图 1-3 常用结构鋼的 C-曲綫圖

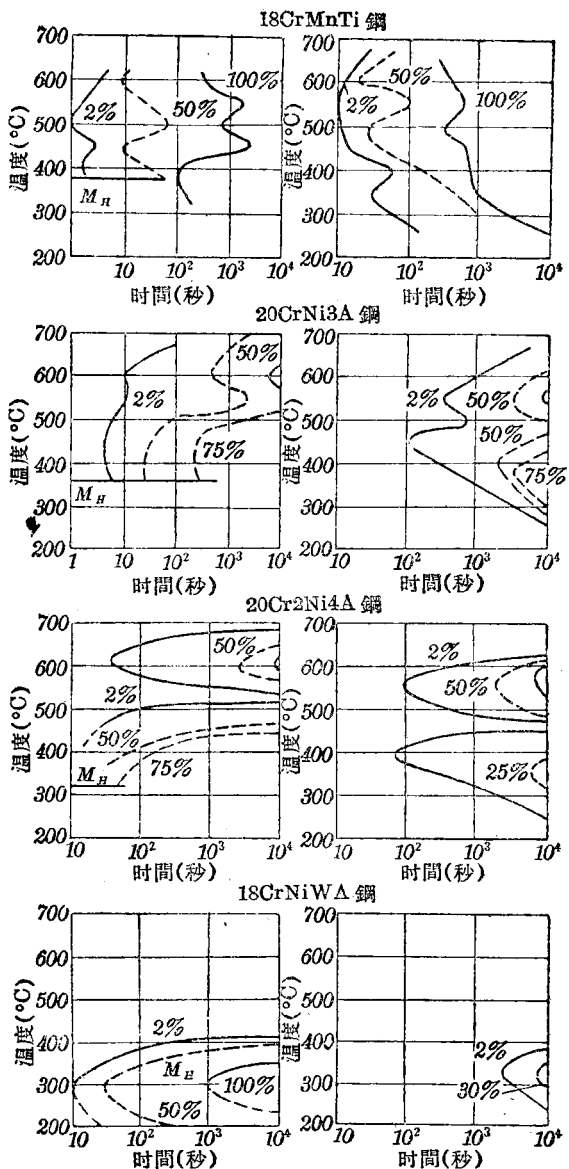


图 1-4 常用渗碳钢的 C-曲线图

(左面各图——未渗碳状态；右面各图——渗碳状态)